

پایش خشکسالی حوضه آبریز کارون بزرگ با استفاده از شاخص SPI (۱۹۷۸-۲۰۱۴ میلادی)

فاطمه زابل عیاسی^{*}، شراره ملبوسی^۱، ایمان بایانیان^۲، هر تضی اثمری^۳

۱- کارشناس ارشد هواشناسی، پژوهشکده اقلیم‌شناسی

۲- کارشناس رایانه، پژوهشکده اقلیم‌شناسی

۳- دکترای اقلیم‌شناسی، پژوهشکده اقلیم‌شناسی

۴- کارشناس ارشد هواشناسی، اداره کل هواشناسی خراسان رضوی

(تاریخ دریافت: ۹۷/۰۳/۲۱، تاریخ پذیرش: ۹۷/۱۰/۰۶)

چکیده

یکی از ویژگی‌های بارز اقلیم ایران کمی بارش و نوسان‌های شدید آن در مقیاس‌های زمانی روزانه، فصلی و سالانه است. هر خشکسالی دارای ۴ ویژگی عمده می‌باشد که عبارتند از: دوره تداوم، شدت، فراوانی و گستره. هدف اصلی این مطالعه، ارزیابی و پنهان‌بندی خصوصیات خشکسالی حوضه کارون بزرگ است. در این مطالعه از شاخص بارش استاندارد خشکسالی SPI برای بررسی ویژگی‌های خشکسالی واقع در داخل و خارج حوضه با دوره آماری مشترک ۲۸ ساله در سه مقیاس زمانی، ۶ و ۱۲ ماهه استفاده شد. ویژگی‌های خشکسالی، شامل تداوم و شدت در هر مقیاس استخراج و نقشه‌های وضعیت خشکسالی در محیط GIS ترسیم شد. کمترین مقدار SPI مشاهده شده در حوضه متعلق به یاسوج (۳/۲۹) در مقیاس ۱۲ ماهه و طولانی‌ترین تداوم در بستان ۶۱ ماهه است. همچنین طولانی‌ترین تداوم و گستره‌های دارای خشکسالی در هر سال نیز مشخص شدند.

کلمات کلیدی: خشکسالی، تداوم، شدت، گستره، کارون

مقدمه

این زمینه است که موارد استفاده متعددی از آن در کشورهای مختلف خصوصاً ایالت متحده آمریکا دیده می‌شود. این شاخص، قابل استفاده در مقیاس‌های متعدد زمانی -کوتاه مدت (برای اهداف کشاورزی) و بلند مدت (برای اهداف هیدرولوژی) و مکانی، در سطح خرد و کلان است. از سوی دیگر نتایج حاصله از آن، مناسب بودن شاخص را از نظر تشخیص زمان شروع خشکسالی، پایش و پیش‌بینی آن به اثبات رسانده است.

گاتمن (۱۹۹۸) به این نتیجه رسید که SPI نسبت به سایر شاخص‌ها، بهتر می‌تواند تفاوت خشکسالی در یک ناحیه خاص را نسبت به سایر نواحی را نشان دهد. بوردی و همکاران (۲۰۰۱) از شاخص استاندارد شده‌ی بارش برای رسم نقشه‌های پنهان‌بندی خشکسالی ماهانه در مقیاس‌های زمانی کوتاه‌مدت، میان‌مدت و درازمدت در ایتالیا استفاده کردند. بروینی و همکاران (۲۰۰۱)

ایران را می‌توان از نظر اقلیمی کشوری متفاوت دانست به طوری که اختلافات اقلیمی در نواحی مختلف بسیار متفاوت و آشکار است. کمی بارندگی و نوسان شدید آن، سبب عدم اطمینان کافی برای دریافت حداقل بارش مورد نیاز جهت مصارف کشاورزی، تأمین جریان‌های سطحی و تعذیه آبهای زیرزمینی و مصارف انسانی می‌شود. علاوه بر روند افزایشی از نظر تقاضا برای آب به سبب فعالیت‌های صنعتی، کشاورزی و شرب، تغییرات اقلیمی مثل کاهش بارندگی که منجر به وقوع خشکسالی‌ها می‌شود، در منابع آبی تأثیر منفی دارد و کشاورزی را تحت تأثیر قرار می‌دهد (فرج زاده، ۱۳۷۹؛ نیکلاس، ۲۰۰۱). به دلیل وقوع خشکسالی‌های متعدد در سال‌های اخیر، مطالعات در این زمینه افزایش یافته و محققان برای پایش خشکسالی از روش‌های مختلفی استفاده کرده‌اند. در این میان، شاخص خشکسالی بارش استاندارد (SPI) یکی از شاخص‌ها در

طرح‌های وسیع سدسازی و احداث شبکه‌های متعدد و عظیم آبیاری و زهکشی به منظور تأمین امنیت انرژی و غذا بیانگر پتانسیل بالای منابع آب و خاک این حوضه و سهم آن در جهت نیل به اهداف توسعه اقتصادی، اجتماعی و فرهنگی کشور است (ارشدی، ۱۳۹۲). به دلیل این که بارش، منبع اصلی تأمین آب در حوضه آبریز جنوب غرب کشور است و رخداد خشکسالی در زندگی و فعالیتهای گوناگون اقتصادی و اجتماعی اثرات قابل ملاحظه‌ای دارد لذا تحقیق در ابعاد کمی و کیفی و پایش آن ضروری است.

هدف از این مطالعه، بررسی کمی، شدت، مدت و گستره خشکسالی‌های حوضه کارون بزرگ در طی یک دوره آماری ۲۸ ساله است. به منظور بررسی خشکسالی‌ها تعداد ۴۲ ایستگاه در داخل و خارج منطقه با دوره مشترک آماری ۲۸ ساله انتخاب و به کمک شاخص SPI شدت‌های خشکسالی و ترسالی در مقیاس‌های زمانی ۳، ۶ و ۱۲ ماهه محاسبه شد. نتایج حاصل به صورت جداول شدت و مدت خشکسالی و نقشه‌های شدیدترین خشکسالی‌ها تهیه شد.

مواد و روش‌ها

منطقه مورد مطالعه و داده‌ها

منطقه مورد مطالعه حوضه آبریز کارون بزرگ شامل ۴ زیر حوضه کرخه، دز، کارون و مارون می‌باشد که موقعیت جغرافیایی آن در شکل ۱ نشان داده شده است.

ابتدا با استفاده از داده‌های سازمان هواشناسی و وزارت نیرو، داده‌های اقلیمی ایستگاه‌های همدید، اقلیم‌شناسی و بارانسنجی واقع در حوضه مطالعاتی جهت ایجاد پایگاه داده جمع‌آوری شد. پس از جمع‌آوری آمار و داده‌ها، کنترل‌های اولیه صورت گرفت که نتیجه آن حذف آمار ایستگاه‌هایی بود که دارای آمار ناقص بودند یا طول دوره آماری آنها کم بود. در نهایت ۴۲ ایستگاه همدید واقع در استان‌های غرب و جنوب غرب ایران در دوره آماری ۱۹۸۷ تا ۲۰۱۴ میلادی مورد بررسی قرار گرفتند. در این تحقیق خلاء‌های آماری داده‌های بارندگی

نیز نشان دادند که شاخص استاندارد شده بارش برای کمی کردن و مراقبت از خشکسالی می‌تواند بسیار مفید باشد. نساجی زواره و صانعی (۱۳۸۰) برای پیش‌بینی دوره‌های خشکسالی از شاخص SPI با مقیاس‌های زمانی مختلف در اصفهان استفاده کردند. ویلیامز در مطالعه‌ای که تحت عنوان مدیریت ریسک خشکسالی در آفریقای جنوبی انجام داد، بیان کرد که افزایش میزان درآمدهای اقتصادی و کاهش میزان خطرات اجتماعی به کمک مدیریت ریسک خشکسالی از طریق افزایش تحقیقات در زمینه پیش‌بینی و به روزرسانی نتایج امکان‌پذیر است. خلیلی و بذرافشان (۱۳۸۵) دوره بازگشت و ریسک تداوم خشکسالی در ایستگاه‌های قدیمی ایران را با فرض استقلال و ایستایی سری‌های زمانی بارندگی سالانه را مورد بررسی و ریسک خشکسالی را به ازای ۵۰ درصد احتمال وقوع خشکسالی مشخص کردند. اختری و همکاران (۱۳۸۵) با پایش خشکسالی بر اساس شاخص‌های بارش استاندارد شده (SPI) و خشکسالی مؤثر^۱ (EDI) نشان دادند که شاخص‌های فوق معتبر است و روش میانگین متحرک وزن دار در تحلیل مکانی خشکسالی از دقت کافی برخوردار است. هایس و همکاران (۲۰۰۹) شاخص SPI را شاخصی انعطاف‌پذیر و توانمند در تحلیل خشکسالی برای هر مقیاس زمانی دانستند. نتایج مطالعاتی بازیاد و همکاران (۱۳۸۵) نشان داد استفاده از شاخص SPI و مدل نمایی برای مقیاس ماهانه، مدل کروی برای مقیاس فصلی، در ترکیب با روش کریجینگ و روش فاصله وزنی معکوس برای مقیاس‌های شش ماهه، سالانه و دو سالانه نتایج مطلوب تری ارائه می‌دهد.

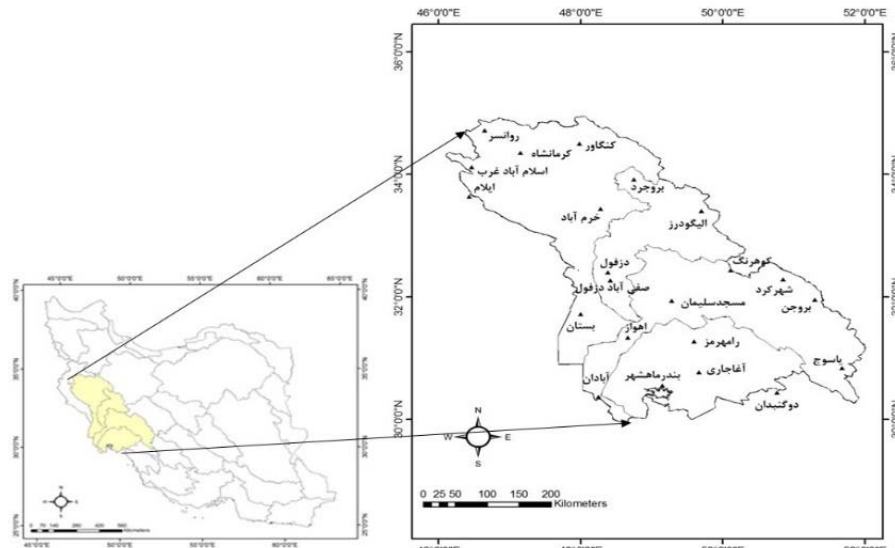
حوضه آبریز رودخانه کارون بزرگ یکی از حوضه‌های باز ایران است که در تقسیم‌بندی حوضه‌های آبریز ایران، حوضه فرعی به شمار می‌رود و زیرمجموعه حوضه آبریز خلیج فارس و دریای عمان است. حوضه آبریز کارون بزرگ به دلیل در برگرفتن بخش بزرگی از پتانسیل آبی کشور ۲۵ درصد، دارای بیشترین و عظیم‌ترین طرح‌های آبی کشور است. اجرای

محدوده مطالعاتی (حوضه آبریز کارون بزرگ) قرار می‌گرفتند که در این تحقیق، جهت دستیابی به نتایج مطلوب‌تر، کل استان‌های مذکور مورد بررسی قرار گرفتند.

بررسی وضعیت بارش منطقه مورد مطالعه
داده‌های بارندگی شامل میانگین بارندگی و بیشترین و کمترین مقدار ثبت شده بارش طی دوره آماری ۱۹۸۷-۲۰۱۴ میلادی، درصد بارش‌های فصلی، دامنه تغییرات و واریانس ایستگاه‌های مورد مطالعه در جدول (۲) آورده شده است. در بین ایستگاه‌های مورد مطالعه بیشترین تغییرپذیری بارش سالانه در طی دوره آماری ۱۹۸۷-۲۰۱۴ میلادی مربوط به ایستگاه کوهرنگ واقع در استان چهارمحال و بختیاری (به مقدار ۲۶۶/۲) است. در شکل ۲ میانگین بارندگی سالانه حوضه کارون بزرگ طی دوره آماری ۱۹۸۷-۲۰۱۴ میلادی نشان داده شده است. همان طور که مشاهده می‌شود، هر چه از جنوب غرب به شمال و شرق و جنوب شرق حرکت کنیم، بر مقدار نزولات جوی افزوده می‌شود.

از روش نسبت‌ها تکمیل شد. در این روش، میانگین داده‌های موجود در ایستگاه اصلی و ایستگاه مجاور (نزدیک‌ترین ایستگاه یا میانگین ایستگاه‌های مجاور) محاسبه شده و سپس نسبت میانگین ایستگاه اصلی به ایستگاه مجاور تعیین می‌شود. در نهایت، نسبت به دست آمده در مقدار داده موجود ایستگاه مجاور در دوره نیاز به بازسازی، ضرب گشته و داده‌ی نیاز به بازسازی متناظر به دست می‌آید (حسنپور کاشانی و دین پژوه، ۲۰۱۲). همچنین به منظور کنترل تصادفی بودن همگنی آمار از آزمون‌های آماری از جمله آزمون (Run Test) استفاده شد (علیزاده، ۱۳۷۶).

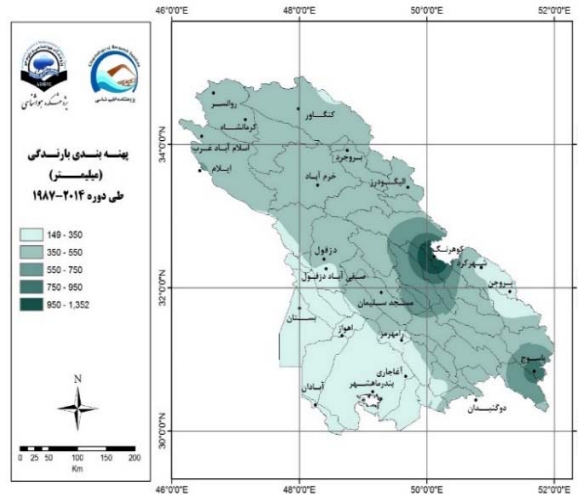
مشخصات ایستگاه‌های منتخب در جدول ۱ و همچنین پراکنش آنها در حوضه آبریز کارون بزرگ در شکل ۱ آورده شده است. استان‌هایی که به طور کامل یا بخشی از آنها در داخل حوضه قرار می‌گیرند عبارتند از: ۱- خوزستان، ۲- چهارمحال و بختیاری، ۳- ایلام، ۴- کهگیلویه و بویر احمد، ۵- هرمزگان و ۶- فارس. پراکنش ایستگاه‌های همیدد در بعضی از استان‌ها به گونه‌ای بود که تعدادی از ایستگاه‌ها در خارج از



شکل ۱- موقعیت جغرافیایی ایستگاه‌های همیدد در حوضه آبریز کارون بزرگ

جدول ۱- مشخصات ایستگاه‌های همدید مورد مطالعه

استان	ایستگاه	سال تاسیس	طول جغرافیایی	عرض جغرافیایی	ارتفاع
خوزستان	آبادان	۱۹۵۱	۴۸.۱۵	۳۰.۲۲	۶.۶
	اهواز	۱۹۵۱	۴۸.۴	۳۱.۲	۲۲.۵
	دزفول پایگاهی	۱۹۶۱	۴۸.۲۳	۳۲.۲۴	۱۴۳
	لیله (آخجیاری)	۱۹۸۴	۴۹.۴	۳۰.۴۶	۲۷
	مسجد سلیمان	۱۹۸۵	۴۹.۱۷	۳۱.۰۶	۳۲۰.۵
	بسطاخ	۱۹۸۶	۴۸	۳۱.۴۳	۷۸
	صفی آباد دزفول	۱۹۸۷	۴۸.۲۵	۳۲.۱۶	۸۲.۹
	راهنمہ	۱۹۸۷	۴۹.۳۶	۳۱.۱۶	۱۵۰.۵
	پندر ماعشه‌پور	۱۹۸۷	۴۹.۰۹	۳۰.۳۳	۶.۲
	بهبهان	۱۹۹۳	۵۰.۱۴	۳۰.۳۶	۳۱۳
	ایذه	۱۹۹۳	۴۹.۵۲	۳۱.۵۱	۷۶۷
	دوچرخه‌دان	۱۹۸۵	۵۰.۴۶	۳۰.۲۶	۶۹۹.۵
	پاسوج	۱۹۸۷	۵۱.۴۱	۳۰.۵	۱۸۳۱.۵
	ابلام	۱۹۸۶	۴۶.۲۶	۳۳.۳۸	۱۳۳۷
	دهعلیان	۱۹۸۷	۴۷.۱۶	۳۲.۴۱	۲۳۲
	بروجرد	۱۹۸۹	۴۸.۴۵	۳۳.۵۵	۱۶۲۹
	خرم‌آباد	۱۹۵۱	۴۸.۱۷	۳۳.۲۶	۱۱۴۷۸
	لیکو درز	۱۹۸۶	۴۹.۴۲	۳۳.۲۴	۲۰۲۲
اصفهان	کاشان	۱۹۶۶	۵۱.۲۷	۳۳.۵۹	۹۸۲.۳
	غاران	۱۹۸۹	۵۰.۲۲	۳۲.۵۸	۲۲۹.
	خورموجنگ	۱۹۸۶	۵۵.۰۵	۳۳.۴۷	۸۴۵
	اصفهان	۱۹۵۱	۵۱.۴	۳۲.۳۷	۱۵۵۰.۴
	اصفهان- فرهنه‌دشت	۱۹۷۶	۵۱.۵۲	۳۲.۴	۱۵۴۳.۵
	کیورتر آباد	۱۹۸۷	۵۱.۵۱	۳۲.۳۱	۱۵۴۵
	کوهرزندگ	۱۹۸۷	۵۰.۰۷	۳۲.۲۶	۲۲۸۵
	شهرکرد	۱۹۵۵	۵۰.۵۱	۳۲.۱۷	۲۰۴۸.۹
	بروجن	۱۹۸۸	۵۱.۱۸	۳۱.۵۷	۲۱۹۷
کرمانستان	ستز	۱۹۶۱	۴۶.۱۶	۳۶.۱۵	۱۵۲۲۸
	ستدج	۱۹۵۹	۴۷	۳۵.۲	۱۳۷۳.۴
	ییغان	۱۹۸۷	۴۷.۳۷	۳۵.۵۳	۱۸۸۳.۵
	زوفنه	۱۹۸۹	۴۶.۵۵	۳۶.۰۴	۲۱۴۲.۶
	روفسر	۱۹۸۸	۴۶.۳۹	۳۶.۴۳	۱۳۷۹.۸
	سرمهل غماب	۱۹۸۶	۴۵.۵۲	۳۴.۲۷	۵۴۵
	کرمشاه	۱۹۵۱	۴۷.۰۹	۳۴.۲۱	۱۳۱۸.۶
	کنگاور	۱۹۸۷	۴۷.۰۹	۳۴.۳	۱۴۶۸.۳
	اسلام آباد غرب	۱۹۸۷	۴۶.۲۸	۳۴.۰۷	۱۳۴۸.۸
همدان	همدان تسویه	۱۹۵۱	۴۸.۴۳	۳۵.۱۲	۱۶۷۹.۷
	همدان	۱۹۷۶	۴۸.۳۲	۳۴.۵۲	۱۷۴۰.۸
	آباده	۱۹۷۷	۵۲.۴	۳۱.۱۱	۲۰۳۰
	سله‌درزه‌دزن	۱۹۸۸	۵۲.۲۶	۳۰.۱۳	۱۶۲۰
	زرقان	۱۹۸۹	۵۲.۴۳	۲۹.۴۷	۱۵۹۶
فارس	شیراز	۱۹۵۱	۵۲.۳۶	۲۹.۳۲	۱۴۸۴
	فسا	۱۹۶۶	۵۳.۴۱	۲۸.۵۸	۱۲۸۱.۳



شکل ۲- پهنه‌بندی میانگین مجموع بارندگی سالانه حوضه آبریز کارون بزرگ طی دوره آماری ۱۹۸۷-۲۰۱۴ میلادی

جدول ۲- مشخصات بارندگی استگاه‌های مورد مطالعه طی دوره آماری ۱۹۸۷-۲۰۱۴

واریتس	نامه تغییرات	دراصد بارش زمستان	دراصد بارش پاییز	دراصد بارش تابستان	دراصد بارش بهار	دراصد بارندگی ماهانه	بارندگی (میلیمتر)		استگاه	استان
							حداکثر بارندگی ماهانه	میانگین		
۱۸۳۰۷۵	۳۶/۵	۴۸	۴۲	۰	۹	۳۶/۵	۱۴۹/۶	ایدان		
۲۸۸۱	۵۳/۵	۴۶	۴۴	۱	۱۹	۵۳/۵	۲۲۸/۵	اهواز		
۱۰۷	۸۵/۳	۵۰	۳۹	۰	۱۱	۸۵/۳	۳۸۳/۲	درقول		
۵۲۳۹	۵۹/۳	۵۰	۴۱	۰	۹	۵۹/۳	۲۵۷/۸	اغاجاری		
۱۷۷۹/۵	۹۷/۶	۵۲	۳۸	۰	۹	۹۷/۶	۴۱۶/۸	مسجد سلیمان		
۲۵۲۶	۴۲/۳	۵۰	۳۷	۰	۱۳	۴۲/۳	۱۹۶/۳	بسیان		
۳۲۲۶	۴۸/۲	۵۰	۴۳	۰	۷	۴۸/۲	۱۹۶/۱	پندرها شهر		
۸۴۸/۳	۸۴/۷	۴۹	۴۱	۲	۸	۰/۲	۸۴/۹	رامهرم		
۷۵۷/۳	۷۲/۹	۵۰	۳۹	۰	۱۱	۰/۱	۷۳	صفی آباد درقول		
۳۵۹۲/۲	۱۶۱/۴	۵۴	۳۴	۰	۱۱	۰/۶	۱۶۲	آبزه		
۱۸۱۱/۳	۹۰/۰	۴۹	۴۳	۰	۷	۹۰/۵	۳۴۲/۷	پهنهان		
۱۷۷۳/۳	۱۱۱/۲	۵۲	۳۹	۲	۷	۱۱۱/۲	۴۴۷/۴	دونیسان و پیراحمد		
۰۱۹۹/۷۸۲	۱۶۶/۵	۵۷	۳۲	۱	۱۰	۰/۸	۱۶۷/۳	یاسوج		
۱۸۸۸/۵	۱۰۰/۷	۵۳	۳۳	۱	۱۴	۰/۲	۱۰۸/۹	الام		
۴۴۶/۳	۵۵/۰	۴۹	۳۴	۱	۱۶	۰/۱	۵۵/۶	دهلان		
۰۱۲۰/۹۷	۸۶/۴	۵۰	۳۳	۰	۲۱	۰/۶	۸۷	برجود		
۱۱۳۴/۷۵	۸۴/۷	۴۶	۳۵	۰	۱۹	۰/۲	۸۴/۹	خرم آباد		
۷۵۷/۳	۷۳/۴۴	۴۹	۳۳	۱	۲۲	۰/۹	۷۷/۳	الیگوئز		
۷۷۹/۰۵	۷۰/۸	۴۲	۳۳	۲	۲۳	۲/۲	۷۳	نقز		
۶۶۴/۹۸	۹۴/۳	۴۱	۳۵	۱	۲۳	۰/۲	۶۶/۷	سنندج		
۴۳۹/۴	۵۸/۱	۴۶	۳۲	۳	۲۸	۰/۲	۶۰/۳	بیجار		
۵۳۴/۱	۶۹	۳۵	۳۲	۳	۳۰	۲/۵	۷۱/۵	زربه		
۱۱۲۱/۰	۲۶۶/۲	۵۲	۳۴	۰	۱۴	۰/۸	۲۶۷	کوخرگ		
۹۵۶۸	۹۱/۱	۵۰	۳۵	۱	۱۵	۰/۴	۶۱/۵	شهرکرد		
۴۲۲/۹۰	۴۸/۸	۵۰	۳۴	۰	۱۶	۰/۳	۴۹/۱	بروجن		
۹۵۹۸	۷۷/۲	۴۷	۳۰	۱	۲۱	۰/۱	۲۷/۳	اصفهان		
۵۶۱۵	۲۱/۲	۴۶	۲۹	۲	۲۲	۰/۱	۲۱/۴	اصفهان روگاه		
۸۳۷/۴	۲۴/۳	۴۸	۲۵	۱	۲۶	۰/۳	۲۴/۶	کاشان		
۵۷۱/۰	۶۰/۷	۴۷	۳۲	۱	۲۱	۱	۶۱/۷	داران		
۴۳۴/۹۸	۱۹/۱	۵۸	۱۹	۰	۲۳	۰	۱۹/۱	خوزیلساک		
۶۸	۲۲/۳	۴۹	۲۸	۱	۲۲	۰/۱	۲۲/۴	کوتوساد		
۷۸۹/۳	۷۷/۱	۴۶	۳۵	۱	۱۸	۰/۳	۷۷/۴	کرمانشاه		
۱۰۶/۷	۸۱/۶	۴۷	۳۴	۰	۱۹	۰	۸۱/۶	روانسر		
۱۰۵	۷۷/۷	۴۹	۳۶	۰	۱۴	۰/۱	۷۷/۸	سریل ذهاب		
۶۳۲/۱	۵۹/۹	۴۴	۳۶	۱	۲۱	۰/۲	۶۰/۳	کیگاو		
۱۰۸۸/۴	۸۳/۴	۴۸	۳۶	۱	۱۵	۰/۳	۸۳/۷	اسلام آباد غرب		
۳۱۶/۴	۴۸/۲	۴۰	۳۲	۳	۲۵	۱/۷	۴۹/۹	همدان نوژه		
۳۴۵/۷	۵۰/۷	۴۰	۳۵	۳	۲۲	۱/۲	۵۱/۹	همدان فردگاه		
۹۴۵/۵	۸۵/۶	۵۹	۳۱	۱	۹	۰	۸۵/۶	شیزار		
۷۷۰/۳	۷۸/۷	۶۶	۲۵	۱	۸	۰/۳	۷۹	قسا		
۹۹/۰	۲۵/۰	۴۹	۳۳	۱	۱۷	۰	۲۵/۵	آباده		
۱۸۸۷/۸	۱۱۱/۷	۶۰	۳۰	۰	۱۰	۰	۱۱۱/۷	درود زن		

شاخص SPI

محاسبه SPI شامل برآذش تابع چگالی احتمال گاما بر توزیع فراوانی بارندگی کل برای یک ایستگاه معین است. سپس پارامترهای α و β مربوط به تابع چگالی احتمال گاما برای هر ایستگاه، هر مقیاس زمانی ($3, 6, 12, 24, 48$ ماه وغیره) و برای هر ماه سال برآورد می‌شوند (مصطفی زاده، ۱۳۹۴).

در مرحله بعد، از پارامترهای α و β برای به دست آوردن تابع احتمال تجمعی بارندگی برای ماه مورد نظر و مقیاس زمانی معین در ایستگاه تحت بررسی استفاده می‌شود. پس از محاسبه تابع تجمعی کل، تغییر شکل هم احتمالی تابع تجمعی گاما به متغیر تصادفی نرمال استاندارد Z (SPI) با میانگین صفر و واریانس صورت می‌گیرد.

کاربرد نمایه SPI در جهان به دلیل داشتن مزایایی چون سادگی در محاسبات، نیاز نداشتن به داده‌های زیاد و مستقل بودن از میانگین بارش رو به افزایش است و برای مقایسه‌ی دامنه وسیعی از اقلیم‌ها قابلیت استفاده دارد. از معایب این نمایه در نظر گرفتن توزیع نرمال برای داده‌های است و این مسئله برای دوره‌های زمانی کوتاه مدت چندان مورد قبول نیست و باعث بروز اشکالاتی می‌شود (مصطفی زاده، ۱۳۹۴). مک کی و همکاران (۱۹۹۳) از نتایج حاصله از SPI، یک سیستم طبقه‌بندی SPI را برای تعریف شدت خشکسالی معرفی کردند. مقادیر SPI برای طبقه‌بندی خشکسالی در جدول ۳ آورده شده است.

مقدار SPI مثبت بیانگر بارش بیشتر از میانگین و مقدار SPI منفی بیانگر بارش کمتر از مقدار میانگین است. دوره خشکسالی هنگامی اتفاق می‌افتد که SPI به طور مستمر منفی و به مقدار ۱- یا کمتر برسد. ویژگی دیگر SPI این است که می‌توان به کمک آن خشکسالی را برای هر دوره زمانی تعیین کرد. بنابراین بر اساس این شاخص علاوه بر محاسبه شدت خشکسالی، مدت آن نیز تعیین می‌شود (بزدانی، ۱۳۸۴). برای تشخیص خشکسالی و ارزیابی آن از مقیاس‌های زمانی $6, 12$ و 3 ماهه در این تحقیق استفاده شده و نتایج حاصل در جداولی آورده شده است.

شاخص SPI برای اولین بار توسط مک کی و همکاران در سال ۱۹۹۳ پیشنهاد شد. SPI شاخصی است که بر اساس احتمال بارش برای هر بازه زمانی قابل محاسبه است. این شاخص امکان پایش خشکسالی را برای مقیاس‌های زمانی کوتاه مدت نظیر رطوبت خاک و نیز برای مقیاس‌های دراز مدت نظیر آب‌های سطحی و آب‌های زیرزمینی فراهم می‌سازد (مک کی، ۱۹۹۷). داده‌های بارش ثبت شده در بلند مدت به یک توزیع احتمالاتی برازش و سپس به یک توزیع نرمال تغییر شکل داده می‌شوند، طوری که میانگین SPI در مکان و دوره زمانی مورد نظر صفر باشد (مک کی و همکاران، ۱۹۹۳؛ ادوارد و مک کی، ۱۹۹۷). محاسبه شاخص خشکسالی SPI در هر یک از مقیاس‌های زمانی را می‌توان از مزیت‌های این شاخص بر شمرد. طول دوره ثبت داده‌های بارش و همچنین ماهیت توزیع‌های احتمالاتی، نقش مهمی در محاسبه خشکسالی SPI دارد و این عوامل از جمله محدودیت‌های آن به شمار می‌روند (میشرا و سینگ، ۲۰۱۰).

با توجه به سوابق پژوهش‌های صورت گرفته، مشخص می‌شود که توزیع احتمال بارش یک ایستگاه معمولاً از توزیع گاما پیروی می‌کند که تابع چگالی احتمال این توزیع به صورت رابطه زیر است:

$$f(x) = \frac{1}{\beta^\alpha \Gamma(\alpha)} x^{\alpha-1} e^{-x/\beta}$$

در این رابطه، x مقدار متغیر و α و β به ترتیب پارامتر شکل و مقیاس توزیع هستند. $\Gamma(\alpha)$ نیز تابع ضربی گاما است که بر اساس رابطه زیر به دست می‌آید:

$$\Gamma(\alpha) = \int_0^{\infty} y^{\alpha-1} e^{-y} dy$$

ماه) و کمترین تداوم در این مقیاس در حوضه متعلق به یاسوج (۲۳ ماه) است (جدول ۶).

- طولانی‌ترین تداوم در مقیاس ۶ ماهه، ۴۲ ماه مربوط به ایستگاه روانسر و کمترین تداوم در این مقیاس در حوضه متعلق به اهواز به میزان ۱۳ ماه است (جدول ۵).

- طولانی‌ترین تداوم در مقیاس ۳ ماهه مربوط به یاسوج با ۱۴ ماه تداوم خشکسالی و کمترین تداوم ۷ ماه مربوط به ایستگاه بروجرد و در داخل حوضه نیز متعلق به آبادان ۹ ماه تداوم است (جدول ۴).

نقشه‌های طولانی‌ترین تداوم خشکسالی در مقیاس‌های زمانی ۳، ۶ و ۱۲ ماهه منطقه مورد مطالعه در شکل‌های ۳ تا ۵ آورده شده‌اند (مربوط به جداول ۴ تا ۶). نتایج نشان دهنده بیشترین تداوم و شدیدترین خشکسالی در مقیاس ۳ ماهه در بخش شرق و جنوب شرق منطقه (شکل ۳، جدول ۴)، در مقیاس ۶ ماهه بیشترین تداوم در شمال و شمال غرب و شدیدترین خشکسالی در شرق و جنوب شرق حوضه (شکل ۴، جدول ۵) و در مقیاس ۱۲ ماهه بیشترین تداوم خشکسالی‌ها در قسمت غرب حوضه کارون بزرگ و بیشترین شدت خشکسالی در قسمت شرق و جنوب شرق حوضه است (شکل ۵، جدول ۶).

همچنین نتایج نشان می‌دهند که اگرچه در دوره‌های زمانی کوتاه مدت ۳ ماهه خشکسالی‌های شدید در منطقه مشاهده می‌شود اما این خشکسالی‌ها تداوم زیادی ندارند و تحت تأثیر بارش‌های روزانه هستند؛ در حالی که دوره‌های زمانی بلند مدت نسبت به تغییرات بارش واکنش کندتری نشان می‌دهند. بنابراین تداوم و بزرگی خشکسالی طی دوره‌های بلندمدت بیشتر از دوره‌های کوتاه مدت است. علاوه بر این، حتی در ایستگاه‌های واقع در مناطق کوهستانی و نیمه مرطوب (شهرکرد، خرم آباد) وقوع خشکسالی با تداوم‌های مختلف پدیده‌ای معمول است.

جدول ۳- مقادیر SPI

طبقات شاخص SPI	توصیف وضعیت
کمتر از -۲	خشکسالی سیار شدید
-۱/۹۹ تا -۱/۵	خشکسالی شدید
-۱ تا -۱/۴۹	خشکسالی متوسط
۰/۹۹ تا ۰/۹۹	تقریباً نرمال
۱ تا ۱/۴۹	ترسالی متوسط
۱/۹۹ تا ۱/۵	خیلی مرطوب
۲ و بیشتر	ترسالی سیار شدید

نتایج و بحث

برای بررسی خشکسالی‌های حوضه آبریز کارون بزرگ شاخص SPI (Standard precipitation Index) در مقیاس‌های زمانی ۳، ۶ و ۱۲ ماهه برای ایستگاه‌های مذکور محاسبه شد. به دلیل اینکه پایش رخداد خشکسالی در هر منطقه و در یک مقیاس زمانی مشخص برای برنامه‌ریزی هدفمند جهت استفاده از آب برای مصارف گوناگون (کشاورزی، شرب و...) ضروری است، لذا شدت و تداوم خشکسالی‌ها در ایستگاه‌های منطقه مورد مطالعه در جداول ۴ تا ۶ منعکس شده است. در این جداول مقادیر DM، شاخص تجمعی تداوم (مجموع مقادیر SPI‌های منفی) و ADI^۱ که شدت متوسط خشکسالی می‌باشد، نیز محاسبه و ارائه شده است. برخی از یافته‌ها به شرح زیر است.

- کمترین مقدار SPI مشاهده شده در حوضه کارون بزرگ در مقیاس ۳ ماهه متعلق به آبادان (۳/۱۸) و در مقیاس ۶ ماهه متعلق به بروجن (۳/۳۹) و در مقیاس ۱۲ ماهه مربوط به یاسوج (۳/۲۹) است.

- شاخص SPI منفی در مقیاس زمانی ۳ ماهه دارای تعداد وقوع بیشتر اما تداوم کمتری است اما همین شاخص در مقیاس ۱۲ ماهه دارای تداوم بیشتر و تعداد دفعات وقوع کمتری است.

- طولانی‌ترین تداوم در مقیاس ۱۲ ماهه، ۷۰ ماه مربوط به ایستگاه بیجار و در داخل حوضه متعلق به بستان (۶۱

جدول ۴- شدیدترین مقدار SPI، طولانی ترین و شدیدترین تداوم در مقیاس ۳ ماهه (۱۹۸۷-۲۰۱۴)

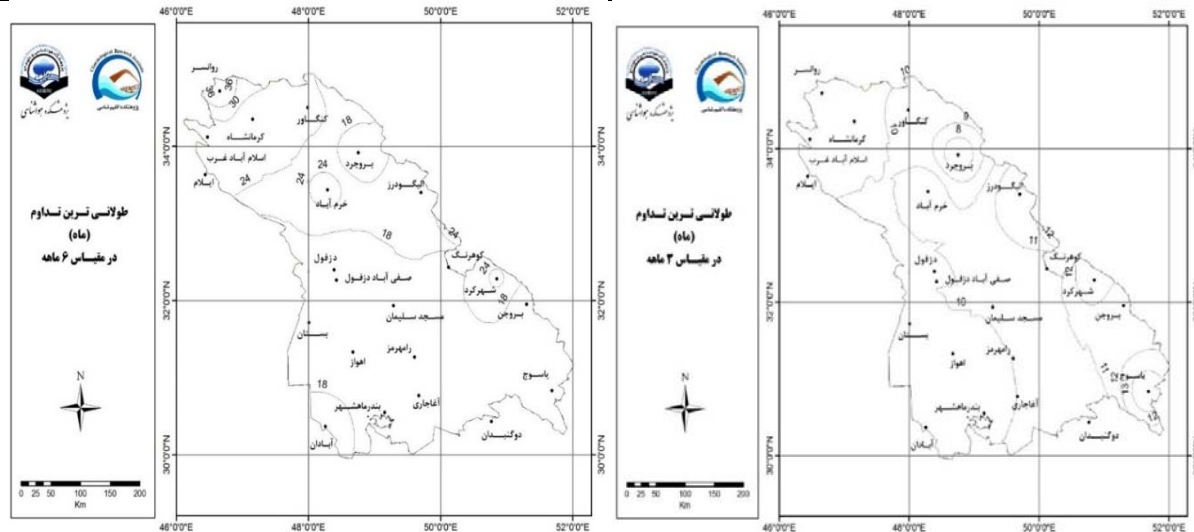
شدیدترین تداوم از نظر بزرگی						سال	نام ایستگاه	ردیف		
ADI	DM	ماه	تداوم	ADI	DM	ماه	تداوم	spi	ماه	
-1.18	-11.75	۱۰	-1.18	-11.75	۱۰	-2.74	۶	۱۹۹۹	صفی آباد دزفول	۱
-1.03	-10.31	۱۰	-1.03	-10.31	۱۰	-2.83	۲	۲۰۰۹	دزفول	۲
-1.03	-10.3	۱۰	-1.03	-10.3	۱۰	-2.99	۴	۲۰۱۳	بسستان	۳
-1.21	-12.09	۱۰	-1.21	-12.09	۱۰	-2.95	۴	۲۰۰۸	اهواز	۴
-1.07	-10.66	۱۰	-1.07	-10.66	۱۰	-2.61	۲	۲۰۰۹	مسجد سلیمان	۵
-1.26	-12.64	۱۰	-1.26	-12.64	۱۰	-2.95	۱۲	۱۹۹۸	رامهرمز	۶
-1.10	-8.8	۸	-0.79	-7.14	۹	-3.18	۱۲	۲۰۱۰	آبادان	۷
-0.94	-8.43	۹	-0.53	-5.26	۱۰	-2.35	۵	۲۰۰۰	ماشهر	۸
-1.22	-12.19	۱۰	-1.22	-12.19	۱۰	-2.72	۱۲	۱۹۹۸	آخجاری	۹
-1.10	-10.99	۱۰	-1.10	-10.99	۱۰	-2.84	۱۲	۱۹۹۸	بهبهان	۱۰
-1.15	-11.49	۱۰	-1.15	-11.49	۱۰	-2.14	۶	۲۰۰۰	ایذه	۱۱
-1.15	-11.49	۱۰	-1.15	-11.49	۱۰	-1.8	۶	۲۰۰۰	دوگنبدان	۱۲
-1.30	-18.16	۱۴	-1.30	-18.16	۱۴	-3.15	۶	۲۰۰۰	پاسوج	۱۳
-1.59	-15.94	۱۰	-1.59	-15.94	۱۰	-2.99	۱	۲۰۱۲	ایلام	۱۴
-1.27	-11.42	۹	-1.27	-11.42	۹	-2.92	۲	۲۰۰۹	دهران	۱۵
-0.73	-7.26	۱۰	-0.61	-7.27	۱۲	-3.11	۱۱	۱۹۹۵	الیگودرز	۱۶
-1.37	-8.24	۶	-1.11	-7.77	۷	-2.95	۵	۲۰۰۸	بروجرد	۱۷
-1.21	-10.91	۹	-0.89	-9.8	۱۱	-2.45	۵	۲۰۰۸	خرم آباد	۱۸
-1.74	-15.68	۹	-0.94	-11.22	۱۲	-3.05	۳	۱۹۹۴	اصفهان	۱۹
-1.23	-13.57	۱۱	-0.82	-10.6	۱۳	-3	۵	۲۰۰۰	اصفهان فرودگاهی	۲۰
-0.99	-6.25	۹	-0.69	-6.25	۹	-2.3	۱	۲۰۱۱	خوریابانک	۲۱
-1.17	-12.91	۱۱	-0.84	-11.76	۱۴	-2.7	۶	۲۰۰۰	داران	۲۲
-1.51	-13.63	۹	-0.85	-9.33	۱۱	-2.78	۵	۲۰۰۰	کاشان	۲۳
-1.46	-16.04	۱۱	-1.46	-16.04	۱۱	-3.12	۵	۲۰۰۰	کبوتر آباد	۲۴
-1.46	-16.04	۱۱	-1.46	-16.04	۱۱	-3.1	۳	۲۰۰۸	بروجن	۲۵
-1.22	-14.62	۱۲	-0.92	-11.98	۱۳	-2.98	۵	۲۰۰۸	شهر کرد	۲۶
-1.38	-11.07	۸	-0.83	-8.26	۱۰	-2.97	۶	۲۰۰۰	کوهرنگ	۲۷
-1.06	-12.76	۱۲	-0.70	-9.76	۱۴	-2.95	۵	۲۰۰۸	بیجار	۲۸
-1.25	-13.79	۱۱	-1.25	-13.79	۱۱	-2.65	۵	۲۰۰۸	زرینه	۲۹
-1.43	-15.7	۱۱	-1.43	-15.7	۱۱	-3.11	۶	۲۰۰۸	سقز	۳۰
-1.43	-15.77	۱۱	-0.71	-8.05	۱۲	-2.76	۵	۲۰۰۸	سنندج	۳۱
-1.46	-16.1	۱۱	-0.90	-9.93	۱۱	-3.01	۵	۲۰۰۸	اسلام آباد	۳۲
-1.57	-15.69	۱۰	-1.57	-15.69	۱۰	-3.09	۲	۲۰۱۲	روانسر	۳۳
-1.50	-14.95	۱۰	-1.50	-14.95	۱۰	-2.59	۵	۲۰۰۸	سریل ذهاب	۳۴
-1.62	-16.24	۱۰	-0.81	-8.87	۱۱	-2.97	۵	۲۰۰۸	کوهنشاد	۳۵
-1.02	-9.14	۹	-1.02	-9.14	۹	-2.65	۵	۲۰۰۸	کنگاور	۳۶
-1.59	-15.93	۱۰	-1.07	-11.72	۱۱	-3.21	۵	۲۰۰۸	آباده	۳۷
-1.40	-13.97	۱۰	-1.40	-13.97	۱۰	-3.29	۵	۲۰۰۸	دروودزن	۳۸
-1.37	-13.7	۱۰	-1.37	-13.7	۱۰	-3.28	۵	۲۰۰۸	شیراز	۳۹
-0.78	-9.3	۱۲	-0.78	-9.3	۱۲	-3.54	۴	۲۰۰۰	فسا	۴۰
-2.07	-12.44	۶	-0.92	-11	۱۲	-3.46	۳	۲۰۱۳	همدان	۴۱
-1.24	-11.14	۹	-1.24	-11.14	۹	-2.96	۳	۲۰۱۳	همدان فرودگاهی	۴۲

جدول ۵- شدیدترین مقدار SPI، طولانی ترین و شدیدترین تداوم در مقیاس ۶ ماهه (۱۹۸۷-۲۰۱۴)

ردیف	نام ایستگاه	شدیدترین تداوم مشاهده شده						شدیدترین مقدار مشاهده شده	ردیف	شدیدترین تداوم (ماه)
		ADI	DM	تداوم ماه	ADI	DM	تداوم ماه			
۱	صفی آباد دزفول	-۱.۲۸	-۲۰.۵۴	۱۶	-۱.۲۸	-۲۰.۵۴	۱۶	-۲.۸۳	۷	۲۰۰۸
۲	دزفول	-۱.۷۳	-۱۷.۳۲	۱۰	-۱.۱۱	-۱۶.۶۷	۱۵	-۲.۵۶	۷	۲۰۰۸
۳	بسنان	-۱.۰۸	-۱۵.۱۴	۱۴	-۰.۸۵	-۱۳.۶۷	۱۶	-۲.۴۶	۷	۲۰۰۸
۴	آهواز	-۱.۴۴	-۱۷.۲۵	۱۲	-۰.۹۳	-۱۲.۱۱	۱۳	-۳.۳۸	۷	۲۰۰۸
۵	مسجد سلیمان	-۱.۳۱	-۱۹.۷۱	۱۵	-۱.۳۱	-۱۹.۷۱	۱۵	-۲.۶۱	۷	۲۰۰۸
۶	رامهرمز	-۱.۱۱	-۱۸.۳	۱۱	-۱.۱۱	-۱۶.۶۶	۱۵	-۲.۹۷	۱۲	۱۹۹۸
۷	آبادان	-۱.۲۲	-۱۸.۳	۱۱	-۱.۲۲	-۲۸.۰۹	۲۳	-۳.۰۲	۱۲	۲۰۱۰
۸	ماهشهر	-۰.۹۶	-۱۴.۳۴	۱۵	-۰.۹۶	-۱۴.۳۴	۱۵	-۲.۳۵	۸	۲۰۰۰
۹	آغاجاری	-۱.۰۷	-۱۶.۰۵	۱۵	-۱.۰۷	-۱۶.۰۵	۱۵	-۲.۷۶	۱۲	۱۹۹۸
۱۰	بهبهان	-۱.۴۴	-۱۷.۲۴	۱۲	-۱.۱۴	-۱۵.۹۶	۱۴	-۲.۸۵	۷	۲۰۰۸
۱۱	ایذه	-۱.۱۴	-۱۷.۰۹	۱۵	-۱.۱۴	-۱۷.۰۹	۱۵	-۲.۴۴	۱۲	۱۹۹۸
۱۲	دوگنبدان	-۱.۱۴	-۱۷.۰۹	۱۵	-۱.۱۴	-۱۷.۰۹	۱۵	-۳.۵۳	۵	۱۹۹۳
۱۳	یاسوج	-۲۰.۰۱	-۲۴.۱۲	۱۲	-۱.۲۱	-۱۶.۸۸	۱۴	-۳.۰۸	۵	۱۹۹۳
۱۴	ایلام	-۱.۰۳	-۲۶.۷	۲۶	-۱.۰۳	-۲۶.۷	۲۶	-۲.۵۵	۱	۲۰۱۲
۱۵	دهلران	-۱.۴۸	-۱۷.۸	۱۲	-۱.۴۸	-۱۷.۸	۱۲	-۲.۵۲	۷	۲۰۰۸
۱۶	الیکودرز	-۱.۰۴	-۲۳.۸۶	۲۳	-۱.۰۴	-۲۳.۸۶	۲۳	-۲.۷۶	۲	۱۹۹۷
۱۷	بروجرد	-۱.۱۴	-۱۳.۷	۱۲	-۱.۱۴	-۱۳.۷	۱۲	-۳.۰۷	۸	۲۰۰۸
۱۸	خرم آباد	-۱.۱۱	-۳۰.۱	۲۷	-۱.۱۱	-۳۰.۱	۲۷	-۲.۴۸	۸	۲۰۰۸
۱۹	اصفهان	-۱.۰۵	-۲۱.۷	۱۴	-۱.۱۳	-۱۷	۱۵	-۳.۶۱	۵	۱۹۹۴
۲۰	اصفهان فرودگاهی	-۱.۰۸	-۲۲.۱۶	۱۴	-۰.۸۰	-۱۳.۶۱	۱۷	-۳	۸	۲۰۰۰
۲۱	خوریابانک	-۱.۳۷	-۱۷.۷۹	۱۳	-۰.۹۴	-۱۵	۱۶	-۲.۶۸	۱	۲۰۱۱
۲۲	داران	-۱.۰۴	-۳۶.۵	۳۵	-۱.۰۴	-۳۶.۵	۳۵	-۳.۰۲	۲	۱۹۹۷
۲۳	کاشان	-۱.۹۹	-۱۷.۹۱	۹	-۰.۵۲	-۱۰.۹	۲۱	-۲.۹۶	۶	۲۰۰۰
۲۴	کبوتر آباد	-۱.۹۳	-۲۳.۱۵	۱۲	-۱.۴۱	-۱۹.۸	۱۴	-۳.۱۳	۸	۲۰۰۰
۲۵	بروجن	-۲۲.۳۱	-۲۷.۷۶	۱۲	-۱.۳۲	-۱۹.۸۳	۱۵	-۳.۳۹	۳	۲۰۰۸
۲۶	شهر کرد	-۱.۲۰	-۳۰.۰۴	۲۵	-۱.۲۰	-۳۰.۰۴	۲۵	-۲.۹۹	۸	۲۰۰۸
۲۷	کوهنهنگ	-۱.۳۱	-۱۷.۰۵	۱۳	-۰.۹۰	-۱۲.۶۱	۱۴	-۳.۰۵	۹	۲۰۰۰
۲۸	بیجار	-۰.۸۱	-۳۰.۶	۳۸	-۰.۸۱	-۳۰.۶	۳۸	-۳.۲۴	۸	۲۰۰۸
۲۹	زرینه	-۱.۱۱	-۲۵.۴۴	۲۳	-۱.۱۱	-۲۵.۴۴	۲۳	-۲.۴۱	۸	۲۰۰۸
۳۰	سقز	-۱.۲۲	-۲۹.۳۵	۲۴	-۱.۲۲	-۲۹.۳۵	۲۴	-۲.۷۶	۱۰	۱۹۹۰
۳۱	سنندج	-۰.۹۷	-۴۰.۶۱	۴۲	-۰.۹۷	-۴۰.۶۱	۴۲	-۲.۸۳	۸	۲۰۰۸
۳۲	اسلام آباد	-۰.۹۷	-۲۵.۲۲	۲۶	-۰.۹۷	-۲۵.۲۲	۲۶	-۲.۸۸	۸	۲۰۰۸
۳۳	روانسر	-۰.۷۳	-۳۰.۸۴	۴۲	-۰.۷۳	-۳۰.۸۴	۴۲	-۲.۸۶	۸	۲۰۰۸
۳۴	سرپل ذهاب	-۱.۱۴	-۳۰.۸۵	۲۷	-۱.۱۴	-۳۰.۸۵	۲۷	-۲.۶۷	۵	۲۰۱۲
۳۵	کوهانشاه	-۱.۱۱	-۲۷.۶۴	۲۵	-۱.۱۱	-۲۷.۶۴	۲۵	-۲.۹۵	۸	۲۰۰۸
۳۶	کنگاور	-۱.۰۲	-۲۶.۵۵	۲۶	-۱.۰۲	-۲۶.۵۵	۲۶	-۲.۶۹	۸	۲۰۰۸
۳۷	آباده	-۲.۱۲	-۲۳.۳۱	۱۱	-۱.۰۱	-۱۵.۱۷	۱۵	-۳.۲۵	۸	۲۰۰۸
۳۸	درودزن	-۱.۸۴	-۲۲.۰۷	۱۲	-۱.۰۹	-۱۴.۲۳	۱۳	-۳.۲۸	۸	۲۰۰۸
۳۹	شیرواز	-۱.۷۰	-۲۰.۴۲	۱۲	-۱.۷۰	-۲۰.۴۲	۱۲	-۳.۲۹	۸	۲۰۰۸
۴۰	فسا	-۱.۱۵	-۱۳.۸۳	۱۲	-۱.۱۵	-۱۳.۸۳	۱۲	-۳.۵۴	۷	۲۰۰۰
۴۱	همدان	-۱.۴۱	-۲۱.۱۴	۱۵	-۱.۴۱	-۲۱.۱۴	۱۵	-۲.۹۹	۹	۲۰۱۳
۴۲	همدان فرودگاهی	-۱.۴۱	-۱۶.۸۷	۱۲	-۰.۷۵	-۱۴.۹۱	۲۰	-۲.۶۷	۸	۲۰۰۸

جدول ۶- شدیدترین مقدار SPI، طولانی ترین و شدیدترین تداوم در مقیاس ۱۲ ماهه (۱۹۸۷-۲۰۱۴)

ردیف	نام ایستگاه	سال	ماه	مقدار spi	تداوم ماه	ADI	DM	شده‌ترین مقدار مشاهده شده	شده‌ترین مقدار تداوم (ماه)		
									شده‌ترین تداوم ماه	شده‌ترین تداوم (ماه)	شده‌ترین تداوم ماه
۱	صفی آباد دزفول	۲۰۰۸	۵	-۲.۲۴	۲۹	-۱.۴۰	-۴۰.۵	۲۹	-۱.۴۰	-۴۰.۵	۲۹
۲	دزفول	۲۰۱۲	۳	-۲.۲۶	۳۳	-۱.۱۳	-۳۷.۳۲	۳۳	-۱.۱۳	-۳۷.۳۲	۳۳
۳	بسستان	۲۰۰۹	۱	-۲.۲۶	۶۱	-۱.۰۵	-۶۴.۰۷	۶۱	-۱.۰۵	-۶۴.۰۷	۶۱
۴	اهواز	۱۹۹۵	۱۱	-۲.۴۴	۲۵	-۱.۶۰	-۳۹.۹	۲۵	-۱.۶۰	-۳۹.۹	۲۵
۵	مسجد سليمان	۲۰۰۹	۱	-۲.۶۲	۶۰	-۱.۰۸	-۶۵.۰۸	۶۰	-۱.۰۸	-۶۵.۰۸	۶۰
۶	رامهرمز	۲۰۰۹	۱	-۲.۲۱	۳۰	-۱.۲۹	-۳۸.۶۲	۳۰	-۱.۲۹	-۳۸.۶۲	۳۰
۷	آبادان	۲۰۱۰	۱۲	-۲.۷۱	۵۸	-۱.۳۰	-۷۵.۴	۵۸	-۱.۳۰	-۷۵.۴	۵۸
۸	ماهشهر	۲۰۱۰	۱۲	-۲.۸۱	۳۵	-۱.۰۳	-۳۶.۱۹	۳۵	-۱.۰۳	-۳۶.۱۹	۳۵
۹	آغجاري	۲۰۱۰	۱۲	-۲.۳۵	۲۶	-۱.۲۵	-۳۲.۴۲	۲۶	-۱.۲۵	-۳۲.۴۲	۲۶
۱۰	بهبهان	۲۰۰۹	۱	-۳.۲۶	۴۷	-۱.۱۳	-۵۳.۰۴	۴۷	-۱.۱۳	-۵۳.۰۴	۴۷
۱۱	ایذه	۲۰۰۹	۱	-۲.۰۲	۳۷	-۰.۷۷	-۳۰.۵۶	۳۷	-۰.۷۷	-۳۰.۵۶	۳۷
۱۲	دوگنبدان	۱۹۹۳	۷	-۳.۸۱	۲۳	-۲.۲۵	-۵۱.۷	۲۳	-۲.۲۵	-۵۱.۷	۲۳
۱۳	یاسوج	۱۹۹۳	۷	-۳.۲۹	۲۳	-۱.۶۴	-۳۷.۷	۲۳	-۱.۶۴	-۳۷.۷	۲۳
۱۴	ایلام	۲۰۰۸	۴	-۲.۶۵	۳۱	-۱.۶۵	-۵۱.۳	۳۱	-۱.۶۵	-۵۱.۳	۳۱
۱۵	دهران	۲۰۱۲	۳	-۲.۱۹	۳۲	-۱.۱۹	-۳۸.۰۳	۳۲	-۱.۱۹	-۳۸.۰۳	۳۲
۱۶	الیکودرز	۱۹۹۵	۱۲	-۲.۵	۲۷	-۱.۰۸	-۲۹.۹۲	۲۲	-۱.۰۸	-۲۹.۹۲	۲۲
۱۷	بروجرد	۲۰۰۹	۲	-۲.۲۴	۲۵	-۰.۷۱	-۳۱.۲۴	۲۵	-۰.۷۱	-۳۱.۲۴	۲۵
۱۸	خرم آباد	۲۰۱۲	۳	-۲.۱۹	۳۲	-۰.۸۹	-۳۶.۵۴	۴۱	-۰.۸۹	-۳۶.۵۴	۴۱
۱۹	اصفهان	۲۰۰۹	۱	-۲.۵	۳۲	-۰.۹۸	-۳۱.۳	۳۲	-۰.۹۸	-۳۱.۳	۳۲
۲۰	اصفهان فرودگاهی	۲۰۰۹	۱	-۲.۷۵	۲۲	-۱.۴۳	-۳۱.۵	۲۲	-۱.۴۳	-۳۱.۵	۲۲
۲۱	خوریابانک	۲۰۱۱	۳	-۲.۴۴	۳۵	-۰.۹۹	-۳۴.۵۸	۳۵	-۰.۹۹	-۳۴.۵۸	۳۵
۲۲	داران	۲۰۰۹	۱	-۲.۴۳	۳۵	-۱.۳۲	-۴۶.۲۹	۳۵	-۱.۳۲	-۴۶.۲۹	۳۵
۲۳	کاشان	۲۰۰۰	۴	-۲.۴۱	۴۴	-۰.۹۰	-۳۹.۶۶	۴۴	-۰.۹۰	-۳۹.۶۶	۴۴
۲۴	کیوت آباد	۲۰۰۸	۹	-۲.۹۵	۲۵	-۱.۵۱	-۳۷.۸	۲۵	-۱.۵۱	-۳۷.۸	۲۵
۲۵	بروجن	۲۰۰۸	۶	-۳.۲۷	۳۴	-۰.۹۷	-۴۱.۶۹	۲۴	-۰.۹۷	-۴۱.۶۹	۲۴
۲۶	شهر کرد	۲۰۰۹	۱	-۲.۶۵	۳۷	-۱.۳۰	-۴۸.۱۷	۳۷	-۱.۳۰	-۴۸.۱۷	۳۷
۲۷	کوهنگ	۲۰۰۹	۱	-۲.۷۴	۵۷	-۰.۷۳	-۴۱.۵۲	۵۷	-۰.۷۳	-۴۱.۵۲	۵۷
۲۸	بیجار	۲۰۰۱	۱۲	-۲.۸۱	۷۰	-۱.۰۴	-۷۲.۷۹	۷۰	-۱.۰۴	-۷۲.۷۹	۷۰
۲۹	زربنه	۲۰۰۸	۱۲	-۲.۲۸	۴۰	-۱.۱۲	-۴۴.۷	۴۰	-۱.۱۲	-۴۴.۷	۴۰
۳۰	سقز	۲۰۰۰	۲	-۲.۱۹	۳۹	-۱.۲۸	-۴۹.۹	۳۹	-۱.۲۸	-۴۹.۹	۳۹
۳۱	سنندج	۲۰۰۸	۷	-۲.۱۲	۴۰	-۱.۲۶	-۵۰.۳	۴۰	-۱.۲۶	-۵۰.۳	۴۰
۳۲	اسلام آباد	۲۰۰۸	۴	-۲.۶۴	۳۷	-۱.۲۲	-۴۵.۰۹	۳۷	-۱.۲۲	-۴۵.۰۹	۳۷
۳۳	روانسر	۲۰۱۲	۱۰	-۲.۶۶	۴۴	-۰.۹۴	-۴۱.۴۷	۴۴	-۰.۹۴	-۴۱.۴۷	۴۴
۳۴	سریل ذهاب	۲۰۰۰	۲	-۲.۴۶	۳۸	-۱.۱۷	-۴۴.۳۹	۳۸	-۱.۱۷	-۴۴.۳۹	۳۸
۳۵	کرهانشاه	۲۰۰۸	۶	-۳	۳۳	-۱.۱۷	-۳۸.۶۲	۳۳	-۱.۱۷	-۳۸.۶۲	۳۳
۳۶	کشتاور	۲۰۰۹	۱	-۲.۲۲	۳۹	-۰.۹۰	-۳۵.۱۱	۳۹	-۰.۹۰	-۳۵.۱۱	۳۹
۳۷	آباده	۲۰۰۸	۸	-۲.۷۱	۳۹	-۰.۹۰	-۳۵.۱۱	۳۹	-۰.۹۰	-۳۵.۱۱	۳۹
۳۸	درودزن	۲۰۰۹	۱	-۳.۱۴	۴۷	-۱.۱۹	-۵۵.۷۶	۴۷	-۱.۱۹	-۵۵.۷۶	۴۷
۳۹	شیراز	۲۰۰۹	۱	-۳.۲۴	۵۹	-۱.۰۹	-۶۴.۳۹	۵۹	-۱.۰۹	-۶۴.۳۹	۵۹
۴۰	فسا	۲۰۰۹	۱	-۲.۹۴	۲۴	-۰.۷۲	-۳۰.۹۱	۲۴	-۰.۷۲	-۳۰.۹۱	۲۴
۴۱	همدان	۲۰۱۳	۱۱	-۳.۱۱	۲۷	۱.۴۵	۳۹.۰۳	۲۷	۱.۴۵	۳۹.۰۳	۲۷
۴۲	همدان فرودگاهی	۱۹۹۹	۵	-۲.۴	۲۵	-۰.۷۲	-۳۰.۳۳	۲۵	-۰.۷۲	-۳۰.۳۳	۲۵

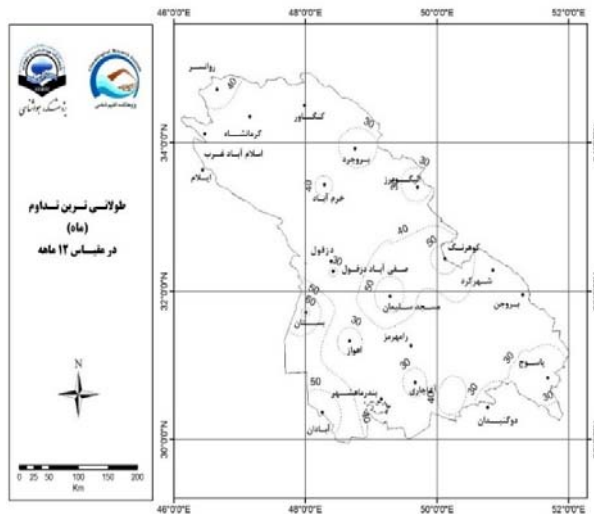


شکل ۴- طولانی ترین تداوم در مقیاس ۶ ماهه حوضه کارون بزرگ

طی دوره آماری ۱۹۸۷-۲۰۱۴ میلادی

شکل ۳- طولانی ترین تداوم (ماه) خشکسالی در مقیاس ۳ ماهه

حوضه کارون بزرگ طی دوره آماری ۱۹۸۷-۲۰۱۴ میلادی



شکل ۵- طولانی ترین تداوم در مقیاس ۱۲ ماهه حوضه کارون بزرگ طی دوره آماری ۱۹۸۷-۲۰۱۴ میلادی

شرق و جنوب غرب منطقه مورد مطالعه از شدت بیشتری برخوردار است، در حالی که در تداوم ۱۲ ماهه در جنوب شرق (دوگنبدان) و جنوب غرب به مراتب شدت خشکسالی‌ها بیشتر از سایر مناطق است، مناطق مرتفع شرایط ملایم‌تری را نشان می‌دهد.

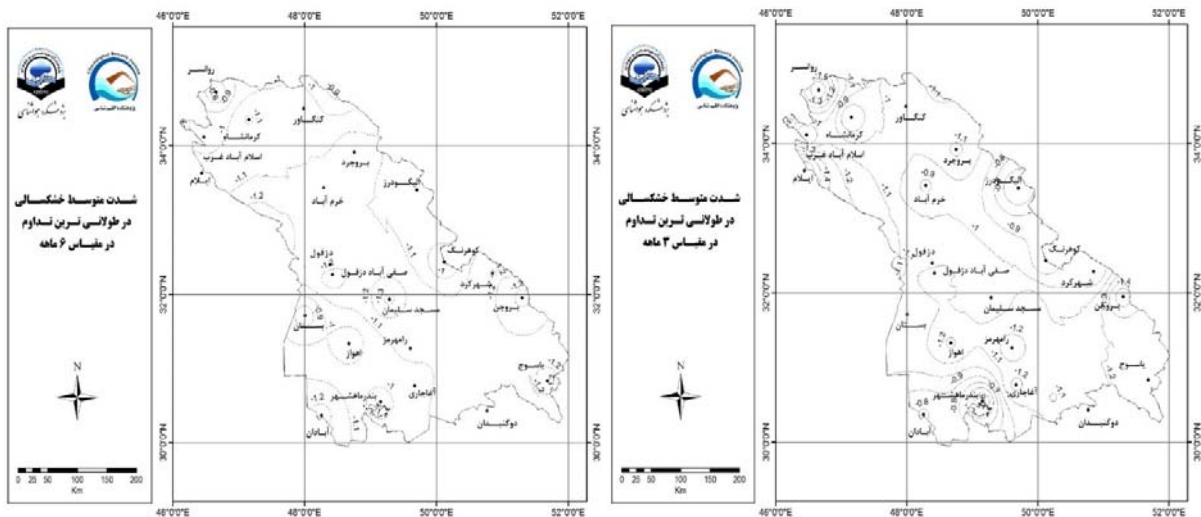
نتایج حاصل از بررسی تداوم خشکسالی‌ها با نتایج فتاوی (۱۳۸۶) در تحلیل منحنی‌های شدت-مدت و فراوانی خشکسالی (ایستگاه‌های برگزیده جنوب غرب

نقشه‌های شدت متوسط خشکسالی (شاخص ADI) مربوط به طولانی ترین تداوم خشکسالی در مقیاس‌های ۳، ۶ و ۱۲ ماهه حوضه کارون بزرگ در شکل‌های ۸ تا ۱۲ آورده شده‌اند. این شکل‌ها بیانگر وقوع خشکسالی‌های ملایم تا شدید در حوضه طی این تداوم‌ها است.

بررسی این نقشه‌ها حاکی از آن است که وقوع خشکسالی‌ها در طولانی ترین تداوم سه ماهه در شمال غرب، جنوب شرق و در تداوم ۶ ماهه در شرق، جنوب

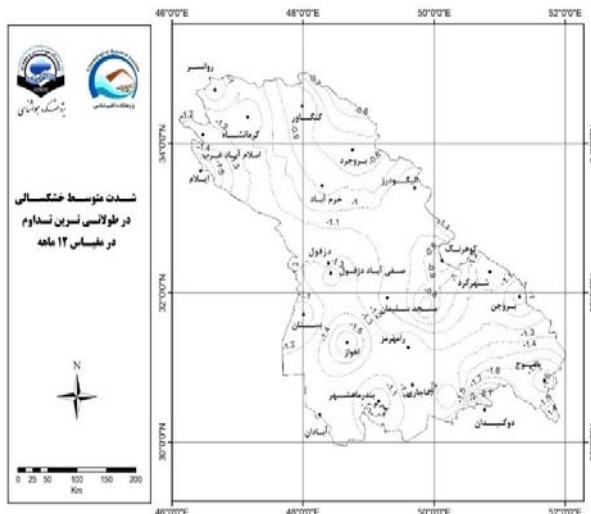
نقشه هم شدت خشکسالی در مطالعه مذکور نشان می دهد که وقوع خشکسالی های شدید در بخش های شمال شرقی و جنوب غربی حوضه کارون از شدت بیشتری برخوردار است که با نتایج تحقیق حاضر آن دکی متفاوت است.

ایران) مشابهت دارد. در مطالعه مذکور از شاخص SPI به منظور تحلیل ویژگی های خشکسالی از قبیل شدت، تداوم و بزرگی استفاده و منحنی های شدت، تداوم و دوره ای بازگشت های خشکسالی برای ایستگاه های منتخب جنوب غرب ایران استخراج شده است. بررسی



شکل ۷- شدت متوسط خشکسالی در طولانی ترین تداوم در مقیاس ۶ ماهه حوضه کارون بزرگ طی دوره آماری ۱۹۸۷-۲۰۱۴ میلادی

شکل ۶- شدت متوسط خشکسالی در طولانی ترین تداوم در مقیاس ۳ ماهه حوضه کارون بزرگ طی دوره آماری ۱۹۸۷-۲۰۱۴ میلادی



شکل ۸- شدت متوسط خشکسالی در طولانی ترین تداوم در مقیاس ۱۲ ماهه حوضه کارون بزرگ طی دوره آماری ۱۹۸۷-۲۰۱۴ میلادی

نتیجه‌گیری

- ۵- فرج زاده، م.، ع. موحد دانش و ه. قائمی، ۱۳۷۴، خشکسالی در ایران، مجله دانش کشاورزی، جلد ۵، شماره‌های ۱ و ۲، دانشگاه تبریز.
- ۶- فرج زاده، م.، ۱۳۷۹، خشکسالی در ایران با استفاده از برخی شاخص‌های آماری، مجله دانش کشاورزی، جلد ۵، شماره‌های ۱ و ۲، دانشگاه تبریز.
- ۷- فتاحی، ا. و ع. صداقت کردار، ۱۳۸۶، تحلیل منحنی‌های شدت - مدت و فراوانی خشکسالی مطالعه موردنی: ایستگاه‌های برگزیده جنوب غرب ایران، نشریه جغرافیا و توسعه، دوره ۵، شماره پایی، ۹، صص. ۷۷ تا ۹۰.
- ۸- مصطفی‌زاده، ر.، م. شهابی و م. ذبیحی، ۱۳۹۴، تحلیل خشکسالی هواشناسی در استان کردستان با استفاده از مدل نمودار سه متغیره، نشریه آمایش جغرافیایی فضای، شماره ۱۷، صص. ۱۴۰-۱۲۹.
- ۹- نساجی زواره، م. و م. صانعی، ۱۳۸۰، تعیین دوره خشکسالی با استفاده از شاخص خشکسالی SPI، مجموعه مقالات اولین کنفرانس ملی راهکارهای مقابله با بحران آب زابل، صص. ۲۴۶-۲۳۵.
- ۱۰- یزدانی، م.، س. چاووشی، م. خداقلی و ب. ثقیلیان، ۱۳۸۴، بررسی خشکسالی‌های هواشناسی در استان اصفهان نشریه علمی پژوهشی آب و آبخیز، سال اول شماره ۴، صص. ۵۱-۴۱.
- 11- Bordi, I. S, P. Frigio, A. Parenti, A. Speranze and Sutera, 2001, The analysis of Standardized Precipitation Index in the Mediterranean area (part I), <http://www.phys.uniroma1.it/index.html>
- 12- Bronini, O., H. S. Pinto, J. Jr. Zullo, M. T. Barbano, M. B. Camargo, R. R. Alfonsi, G. C. Blain, Jr. Pedro & G. Q. Pellegrino, 2001, Drought Quantification and Preparedness in Brazil- the Example of Sao Paulo State.
- 13- Guttman, N. B., 1998, Comparing the Palmer drought index and the standardized precipitation index, J. of Am. Water Resources Association, 34: 113-121

نتایج حاکی از گستردگی تداوم خشکسالی و شدت خشکسالی‌ها در سطح حوضه مورد مطالعه است و تمرکز بیشتر شدت‌های خشکسالی‌ها (شدیدترین خشکسالی‌ها) در منطقه‌ای خاص از حوضه واقع در شرق و جنوب شرق و مرکز آن است. طولانی‌ترین تداوم دوره خشکسالی‌های منطقه در مقیاس ۱۲ ماهه از حداقل ۲۳ ماه در ایستگاه یاسوج تا حداقل ۶۱ ماه در ایستگاه بستان در نوسان است. بررسی شدیدترین خشکسالی‌های سطح کارون بزرگ در طی دوره آماری بیانگر وجود دوره‌های زمانی بسیار خشک در مناطق مختلف است به طوری که کمتر منطقه‌ای در سطح حوضه را می‌توان یافت که طی دوره آماری حداقل دچار یک یا چند خشکسالی بسیار شدید نشده باشد. بنابراین وجود یک مدیریت هدفمند در سوق دادن مدیریت بحران خشکسالی به سمت مدیریت پیش‌آگاهی بسیار ضروری به نظر می‌رسد.

منابع

- ۱- اختیاری، ر.، م. ح. مهدیان و س. مرید، ۱۳۸۵، تحلیل مکانی شاخص‌های خشکسالی SPI و EDI در استان تهران، تحقیقات منابع آب ایران، سال سوم، شماره ۳، صص. ۳۸-۲۷.
- ۲- بازتابی، ح.، ح. زارع ایانه، م. ه. نظری فروع. ا. سبزی پرور، ۱۳۸۵، به کارگیری شاخص استاندارد بارش SPI با روش‌های زمین آماری در تحلیل خشکسالی‌های هواشناسی استان همدان، تابستان ۱۳۸۵، دوره ۶، شماره ۲.
- ۳- خلیلی، ع. و ج. بذرافشان، ۱۳۸۵، ارزیابی دوره بازگشت و ریسک تداوم خشکسالی با استفاده از داده‌های بارندگی سالانه در ایستگاه‌های قدیمی ایران، دومین کنفرانس مدیریت منابع آب.
- ۴- سیدان، ج. و ف. محمدی، ۱۳۷۶، روش‌های طبقه‌بندی اقلیمی، فصلنامه تحقیقات جغرافیا، شماره ۴۵، صص. ۱۰۹-۷۴.

- wet periods in Greece, J. of Hydrological science, 45(5): 751-768.
- 18- McKee, T. B., N. J. Doesken & J. Kleist, 1993, The relationship of drought frequency and duration to time scales, In Proceedings of the 8th Conference on Applied Climatology, 17(22): 179-183.
- 19- McKee, T. B., N. J. Doesken & J. Kleist, 1997, The Relationship of drought frequency and duration to time scales, Preprints 8th Conference on Applied Climatology, 17-22 Jan., Anaheim, CA. pp. 379-384.
- 20- Williams. J., 2000, Drought, Vol.1, pp. 168-177.
- 14- Hasanpur Kashani, M. &Y. Dinpajoooh, 2012, Evaluation of efficiency of different estimation methods or missing climatological data, J. of stochastic environment research risk assessment, 26: 59-71.
- 15- Hayes, M. J., M. D. Svoboda, D. A. Wilhite & O. V. Vanyarkho, 1999, Monitoring the 1996 drought using the Standardized Precipitation Index, Bulletin of the American Meteorological society,80 (3): 429-437.
- 16- Mishra, A. & V. P. Singh, 2010, A review of drought concepts, J. of Hydrology, 391: 202-216.
- 17- Nicolas. R., A. L. Dalezios & L. Vasilisdes, 2001, Severity-duration-frequency analysis of droughts and